



ارزیابی گوناگونی مورفولوژیک برخی از جمعیت‌های آنمون (*Anemone spp. L.*) در ایران

وحید حاجیان^۱، زینب روئین^{۱*}، علی آرمینیان^۲

۱- گروه علوم باغبانی، دانشکده کشاورزی، دانشگاه ایلام، ایلام

۲- گروه ژنتیک و بهنژادی گیاهی، دانشکده کشاورزی، دانشگاه ایلام، ایلام

✉ z.roein@ilam.ac.ir

تاریخ دریافت: ۱۳۹۹/۱۰/۲، تاریخ پذیرش: ۱۴۰۰/۱/۱۹

چکیده

آنمون (*Anemone spp. L.*) یک گیاه سوخوار خودرو در ایران است که دارای ظرفیت زینتی بالایی می‌باشد. برخلاف توزیع گسترده تعداد زیادی از نمونه‌های آنمون در ایران، تاکنون توجهی به بررسی گوناگونی آنمون‌های ایران در سطح ظاهری، به‌عنوان گام آغازین در شناسایی ذخایر توارثی نشده است. در این پژوهش برای ارزیابی گوناگونی مورفولوژیک، ۲۶ جمعیت آنمون (۲۵۰ نمونه شامل دو گونه *Anemone coronaria L.* و *Anemone biflora DC.*) از مناطق مختلف ایران شامل استان‌های ایلام، کرمانشاه، لرستان، خوزستان، همدان، کردستان و خراسان رضوی جمع‌آوری شد. برای بررسی گوناگونی مورفولوژیک از ویژگی‌هایی مانند ارتفاع ساقه، تعداد گل، تعداد جوانه گل، قطر گل، طول دم‌برگ، تعداد برگ گریبانی، تعداد گلبرگ‌ها، تعداد برگ‌ها، تعداد پرچم‌ها و طول و عرض گلبرگ‌ها استفاده شد. جمع‌آوری نمونه‌ها در مرحله گلدهی انجام شد. نتایج بیانگر وجود گوناگونی گسترده در جمعیت‌های مختلف آنمون بود. بیشترین درصد گوناگونی (۷۹/۳۳٪) به تعداد جوانه‌های گل مربوط بود که در دامنه‌ای از صفر تا چهار جوانه متغیر بود. کمترین گوناگونی (۰/۹۷٪) مربوط به تعداد برگ گریبانی بود که برای بیشتر جمعیت‌ها تعداد سه عدد برگ گریبانی ثبت شد. برای تعداد گلبرگ به‌عنوان یکی از مهم‌ترین ویژگی‌های زینتی میزان گوناگونی کم (۴/۳۸٪) و بین چهار تا ۹ گلبرگ مشاهده شد. براساس نتایج، تعداد گلبرگ با طول گلبرگ، عرض گلبرگ، تعداد برگ و تعداد پرچم همبستگی مثبت داشت درحالی‌که با تعداد گل باز شده همبستگی منفی نشان داد. نتایج تجزیه به مؤلفه‌های اصلی نشان داد که پنج مؤلفه اول ۸۴/۳٪ از کل تغییرات را تبیین می‌کنند. در مؤلفه اصلی اول که ۴۵٪/۷ از تغییرات را تبیین نمود، ویژگی‌هایی که در این مؤلفه از ضریب بالایی برخوردار بودند به پوشش گل اختصاص داشتند. در مؤلفه اصلی دوم که ۱۷/۶٪ از تغییرات را تبیین نمود ویژگی‌های زایشی گل دارای بیشترین ضریب‌ها بودند. تجزیه خوشه‌ای، ویژگی‌های ریخت‌شناسی جمعیت‌های مورد بررسی را به چهار گروه جداگانه تقسیم نمود که هرکدام دارای ویژگی‌های متفاوتی بودند. تجزیه خوشه‌ای نتوانست جمعیت‌ها را بر اساس نوع گونه یا منطقه جغرافیایی جداسازی کند. یافته‌های ما نشان داد که جمعیت‌های A (ایلام ۱)، جمعیت‌های G (ایلام ۷)، I (کرمانشاه ۱) و F (ایلام ۶) به دلیل برتری در اندازه گل، طول ساقه، تعداد گل و تعداد برگ می‌توانند به‌عنوان جمعیت‌های برتر گزینش شوند. در مجموع، جمعیت‌های جمع‌آوری شده آنمون به‌عنوان یک منبع غنی ژنتیکی برای نگهداری خارج از رویشگاه و استفاده در برنامه‌های بهنژادی مفید خواهند بود.

واژه‌های کلیدی: آنمون، تجزیه خوشه‌ای، حفاظت ذخیره‌های توارثی، سوخوار زینتی.



مقدمه

گوناگونی زیستی گیاهان و پوشش گیاهی زمین در سراسر جهان از زمان انقلاب صنعتی با سرعتی چشمگیر تغییرات زیادی داشته است. بسیاری از خویشاوندان وحشی گیاهان زینتی به دلیل تغییرات اقلیمی و پوشش زمین، حضور گونه‌های مهاجم و فعالیت‌های انسانی در معرض خطر قرار دارند (Slapcinsky *et al.*, 2010; Van Huylenbroeck, 2018). از دست رفتن گوناگونی ژنتیکی سبب کاهش توانایی جمعیت‌های گیاهی در سازگاری با تغییرات محیطی و در پایان بقای گیاه می‌شود (Yamagishi *et al.*, 2010). گونه‌های در برابر خطر به‌طور کلی دارای جمعیت کم یا در حال کاهش هستند. اغلب این جمعیت‌ها از خویش‌آمیزی و فرسایش گوناگونی ژنتیکی رنج می‌برند که منجر به افزایش خطر نابودی آن‌ها می‌شود (Hatmaker *et al.*, 2018). مشخص کردن واحدهای حفاظتی اولین گام حیاتی در نگهداری از گیاهان است. گیاهان زینتی را می‌توان از طریق رویکردهای حفاظت در رویشگاه، حفاظت خارج از رویشگاه، کاربری‌های پایدار و استقرار سیستم قانونی حفظ کرد (Van Huylenbroeck, 2018). شروع هرگونه برنامه حفاظتی یا بهنژادی نیاز به درک کاملی از بوم‌شناسی و زیست‌شناسی گونه گیاهی و همچنین آگاهی از سطح توزیع و گوناگونی ژنتیکی آن دارد (Szczećńska *et al.*, 2016). حفظ منابع ژنتیکی گیاهان زینتی برای بهنژادی و گسترش در آینده ضروری است. گوناگونی ژنتیکی یکی از موارد مهم در حفاظت از گونه‌ها است، زیرا توانایی جمعیت را در سازگاری با یک محیط در حال تغییر افزایش می‌دهد (Neel & Ellstrand, 2003). جمعیت‌های وحشی یا مجموعه‌های ذخایر توارثی^۱ اغلب حاوی گوناگونی ژنتیکی مفیدی هستند که می‌توانند در برنامه‌های بهنژادی از جمله برای ویژگی‌های ریخت‌شناسی، تغذیه‌ای یا تحمل به تنش مورد بررسی قرار بگیرند (Payne *et al.*, 2015).

یکی از روش‌های بررسی گوناگونی ژنتیکی استفاده از ویژگی‌های ظاهری و ریخت‌شناسی گیاه است. اقدام‌های آغازین برای بررسی گوناگونی ژنتیکی گیاهانی چون لاله (Khalighi *et al.*, 2018; Pourkhaloee *et al.*, 2018; Kiani *et al.*, 2012)، لاله واژگون (Momeni *et al.*, 2013; Badfar-Chaleshtori *et al.*, 2012)، زنبق (Attari *et al.*, 2016)، داوودی (Hassanpour Asil *et al.*, 2014) و گل محمدی (Khalighi & Khadivi, 2020) در ایران به‌عنوان یکی از مراکز گوناگونی گیاهان زینتی انجام شده است. یکی از ظرفیت‌های زینتی و ارزشمند در ایران، آنمون^۲ است که از تیره آللاه‌سانان^۳ است. این گیاه بومی مناطق مدیترانه‌ای است که در ایران پنج گونه آن شامل *A. coronaria* L.، *A. biflora* DC.، *A. caucasica* Willd. ex Rupr.، *A. petiolulosa* Juz. و *A. Narcissiflora* L. پراکنش دارند (Rechinger & Riedl, 1992; Akrami *et al.*, 2011). گونه *coronaria* یکی از گونه‌های زینتی است که بانام شقایق نعمانی شناخته می‌شود. این گونه در ایران به رنگ‌های قرمز، سفید، صورتی و بنفش دیده می‌شود (Khalighi, 2010). آنمون گیاهی دائمی با برگ‌های مرکب و بریدگی‌های عمیق است که به دلیل داشتن ساختار زیرزمینی ژوخه‌ای در گروه گیاهان زینتی سوخوار قرار می‌گیرد (Nissim *et al.*, 2004; Perevolotsky *et al.*, 2011). از آنمون به‌طور گسترده‌ای برای کشت در فضای سبز، گیاه‌گلدانی، گل‌بریدنی و دارویی استفاده می‌شود. این گیاه به پیش‌رسی واکنش خوبی نشان می‌دهد و از راه ژوخه و بذر قابل تکثیر است (Hertogh & Le Nard, 1993; Hao *et al.*, 2017).



با توجه به پراکنش مطلوب این گل در بیشتر نقاط ایران و زیبایی بی‌همتای آن از نظر شکل و رنگ، تاکنون مطالعه‌ای برای بررسی سطح گوناگونی ژنتیکی این گیاه در ایران انجام نشده و دانش کنونی ما در زمینه گوناگونی پدیدگانی و ژنتیکی آن بسیار اندک است. بنابراین پژوهش حاضر به‌عنوان اولین قدم به بررسی میزان گوناگونی ریخت‌شناسی این گیاه زینتی در ایران پرداخته است.

مواد و روش‌ها

برای انجام پژوهش، در مجموع تعداد ۲۵۰ نمونه از دو گونه آمون (*A. coronaria* و *A. biflora*) از استان‌های خوزستان، ایلام، کرمانشاه، کردستان، لرستان، همدان و خراسان رضوی در قالب ۲۶ جمعیت جمع‌آوری شد (شکل ۱). برای شناسایی دقیق گونه‌ها از کتاب فلور ایران استفاده شد (Ghahreman, 1982-2008). فاصله بین نمونه‌ها یک تا ۱۰۰ متر و فاصله بین جمعیت‌ها دستکم پنج کیلومتر بود. برای هر جمعیت حدود ۱۰ نمونه در هر منطقه گردآوری شد. جمع‌آوری نمونه‌ها و اندازه‌گیری ویژگی‌های ریخت‌شناسی آن‌ها در ساعات مشخصی از روز (بین ساعت ۱۰ صبح تا ۱۵ عصر) انجام شد.



شکل ۱- آمون‌های بومی ایران در زیستگاه طبیعی‌شان.

Figure 1- Iranian native anemones in their natural habitats.

در جدول ۱ موقعیت جغرافیایی و مشخصات مناطق جمع‌آوری جمعیت‌های مورد ارزیابی مشخص گردیده است. تعداد ۲۳ ویژگی ریخت‌شناسی شامل ارتفاع گیاه و ساقه، قطر ساقه، تعداد غنچه و گل باز شده، طول و قطر گل، تعداد برگ گریبانی و گلبرگ، طول، عرض و مساحت گلبرگ، تعداد برگ و برگچه، طول، عرض و مساحت برگچه بالغ، طول دم برگ، تعداد پرچم،

طول میله و بساک و طول و قطر مادگی اندازه‌گیری شد. لازم به ذکر است که ارتفاع گیاه از مجموع ارتفاع ساقه و طول گل محاسبه شد. برای ویژگی ارتفاع ساقه نیز از محل طوقه تا زیر گل مدنظر قرار گرفت. برای اندازه‌گیری ویژگی‌های ریخت‌شناسی از خط‌کش و کولیس دیجیتالی (مدل Guanglu با دقت ۰/۰۱ میلی‌متر) استفاده شد. پس از یادداشت‌برداری و مرتب‌سازی داده‌ها در محیط Excel و تجزیه واریانس آنها، مقایسه میانگین ویژگی‌ها به روش LSD Fisher در سطح احتمال پنج درصد انجام شد. واکاوی و تحلیل داده‌ها با استفاده از نرم‌افزار آماری MINITAB 18 انجام شد. تجزیه به مؤلفه‌ها روی ماتریس همبستگی (بدون چرخش عاملی) و همبستگی داده‌ها نیز به روش همبستگی ساده Pearson انجام شد. برای گروه‌بندی جمعیت‌ها از نظر همه ویژگی‌ها از تجزیه خوشه‌ای به روش UPGMA استفاده شد.

جدول ۱- ویژگی‌های مناطق گردآوری نمونه‌های آنمون.

Table 1- The characteristics of the collecting regions of the anemone samples.

| ردیف Number | نام جمعیت Population name | نشان Symbol | گونه Species | تعداد نمونه Number of samples | عرض جغرافیایی Geographical latitude | طول جغرافیایی Geographical longitude | ارتفاع (متر) Altitude (m) |
|----------------|------------------------------|----------------|---------------------|----------------------------------|--|---|------------------------------|
| 1 | Ilam 1 | A | <i>A. coronaria</i> | 10 | 32°53'55.556" | 47°33'56.014" | 807 |
| 2 | Ilam 2 | B | <i>A. coronaria</i> | 10 | 32°44'51.483" | 47°42'50.553" | 452 |
| 3 | Ilam 3 | C | <i>A. coronaria</i> | 10 | 32°01'01.510" | 47°22'03.935" | 992 |
| 4 | Ilam 4 | D | <i>A. coronaria</i> | 10 | 32°57'11.703" | 47°21'11.159" | 1162 |
| 5 | Ilam 5 | E | <i>A. coronaria</i> | 10 | 33°05'30.043" | 47°19'06.341" | 1442 |
| 6 | Ilam 6 | F | <i>A. coronaria</i> | 10 | 33°34'31.994" | 46°51'07.863" | 901 |
| 7 | Ilam 7 | G | <i>A. coronaria</i> | 10 | 33°39'14.205" | 46°37'29.011" | 1122 |
| 8 | Ilam 8 | H | <i>A. coronaria</i> | 10 | 33°45'00.604" | 46°38'19.081" | 965 |
| 9 | Kermanshah 1 | I | <i>A. coronaria</i> | 10 | 34°17'39.710" | 46°15'19.673" | 1681 |
| 10 | Lorestan 1 | J | <i>A. coronaria</i> | 6 | 32°28'48.040" | 48°05'40.150" | 1165 |
| 11 | Ilam 9 | K | <i>A. coronaria</i> | 10 | 33°47'49.753" | 46°16'15.778" | 1453 |
| 12 | Kermanshah 2 | L | <i>A. coronaria</i> | 10 | 34°04'07.200" | 46°14'49.500" | 1471 |
| 13 | Khozestan 1 | M | <i>A. coronaria</i> | 10 | 32°39'31.694" | 48°34'13.467" | 654 |
| 14 | Khozestan 2 | N | <i>A. coronaria</i> | 10 | 32°48'01.643" | 48°28'02.916" | 507 |
| 15 | Ilam 10 | O | <i>A. coronaria</i> | 10 | 32°58'18.349" | 47°25'49.361" | 862 |
| 16 | Ilam 11 | P | <i>A. coronaria</i> | 10 | 33°43'18.364" | 46°12'36.121" | 1003 |
| 17 | Ilam 12 | Q | <i>A. coronaria</i> | 10 | 33°40'04.030" | 46°23'45.132" | 1080 |
| 18 | Kermanshah 3 | R | <i>A. coronaria</i> | 10 | 34°18'48.724" | 46°11'57.401" | 1609 |
| 19 | Kermanshah 4 | S | <i>A. coronaria</i> | 10 | 34°28'40.824" | 45°59'56.061" | 1001 |
| 20 | Kurdestan | T | <i>A. coronaria</i> | 10 | 35°17'47.314" | 46°22'32.832" | 1141 |
| 21 | Kermanshah 5 | U | <i>A. coronaria</i> | 10 | 34°46'08.204" | 46°35'45.364" | 1438 |
| 22 | Lorestan 2 | V | <i>A. coronaria</i> | 10 | 33°29'19.152" | 48°25'15.564" | 1479 |
| 23 | Lorestan 3 | W | <i>A. coronaria</i> | 10 | 33°29'07.444" | 48°22'00.801" | 1275 |
| 24 | Hamedan | X | <i>A. coronaria</i> | 10 | 34°08'20.553" | 48°13'09.731" | 1750 |
| 25 | Khorasan Razavi | Y | <i>A. biflora</i> | 10 | 36°29'04.354" | 58°58'18.183" | 1673 |
| 26 | Lorestan 4 | Z | <i>A. biflora</i> | 4 | 33°38'35.970" | 48°30'44.603" | 1764 |

نتایج و بحث

آماره‌های توصیفی

بر اساس نتایج حاصل از آماره‌های توصیفی (جدول ۲)، بیشترین درصد گوناگونی (۷۹/۳۳٪) مربوط به تعداد غنچه گل بود. همچنین، تعداد گل باز شده (۳۰/۲۳٪)، مساحت برگچه بالغ (۲۵/۵۶٪) و طول میله پرچم (۲۳/۳۷٪) نیز درصد گوناگونی بالایی را نشان دادند. همه نمونه‌های موجود در جمعیت‌های مختلف دارای سه برگچه بودند که گوناگونی در مورد این ویژگی



وجود نداشت. از سوی دیگر، از نظر تعداد برگ گریبانی، گوناگونی اندکی (۰/۹۷٪) وجود داشت. از لحاظ تعداد گلبرگ، به عنوان یکی از مهم ترین ویژگی های زینتی، میزان گوناگونی کم و حدود ۴/۳۸٪ بود. تعداد گلبرگ یکی از عامل های مهم و بارز در تعیین نژادگان برتر است (Van Huylenbroeck, 2018). پایین بودن گوناگونی در تعداد گلبرگ نشان می دهد که برای برنامه های بهنژادی در جهت پروری باید گستره وسیع تری از ذخایر توارثی موجود در ایران مورد بررسی قرار گیرد تا گیاهان با ظرفیت پروری در بین جمعیت ها شناسایی شوند و به عنوان نامزد برای برنامه های بهنژادی در نظر گرفته شوند. با توجه به گوناگونی بالا در ویژگی های تعداد غنچه و گل باز شده آزمون (به ترتیب ۷۹/۳۳٪ و ۳۰/۲۳٪) می توان این گل را به عنوان گل گلدانی پیشنهاد کرد. به طوری که با پیش رس کردن آن خارج از فصل به راحتی در دسترس مصرف کننده قرار گیرد. لازم به ذکر است که برای گل گلدانی داشتن تعداد غنچه زیاد و دامنه شکوفایی آن ها مهم است. همچنین برگ های ایستاده و دمبرگ کوتاه در آزمون برای کشت در فضای باز یا گلدان مطلوب است (Laura & Allavena, 2007). نتایج نشان داد که درصد گوناگونی ارتفاع گیاه آزمون در این پژوهش ۱۴/۲۰ بود (جدول ۲). داشتن ارتفاع بلند و ساقه محکم و قوی در برنامه های بهنژادی برای گل بریدنی بیشتر اهمیت دارد. این موضوع برای تولید گل های گلدانی کمتر مورد توجه است. برخلاف نتایج ما، بررسی گوناگونی مورفولوژیک شش گونه لاله (Khaleghi et al., 2018) نشان داد که بیشترین درصد گوناگونی به رنگ اندام های زینتی مربوط بود و شاخص های مرتبط با اندازه گیاه از گوناگونی بالایی برخوردار نبودند.

مقایسه میانگین

نتایج مقایسه میانگین جفتی ویژگی ها به روش LSD Fisher در جدول ۳ آمده است. نتایج نشان داد که جمعیت A (ایلام ۱) از نظر ارتفاع گیاه و ساقه، قطر ساقه، تعداد غنچه و قطر گل، تعداد، طول، عرض و مساحت گلبرگ، تعداد برگ، طول، عرض و مساحت برگچه بالغ، اندازه دمبرگ و تعداد پرچم بیشترین مقادیر را در میان جمعیت ها داشت. این جمعیت از جمله جمعیت هایی بود که کمترین تعداد گل باز شده را داشت. جمعیت C (ایلام ۳) گل های بلندی داشت. جمعیت D (ایلام ۴) از نظر قطر مادگی، بیشترین میزان در میان جمعیت ها را داشت. برای جمعیت F (ایلام ۶) بیشترین تعداد گل باز شده و طول بساک در گونه *A. coronaria* دیده شد. از سوی دیگر، جمعیت F دارای کمترین تعداد غنچه گل (بدون غنچه گل) در میان جمعیت ها بود. جمعیت G (ایلام ۷) بیشترین طول مادگی را داشت. جمعیت I (کرمانشاه ۱) بیشترین طول میله پرچم و کمترین طول، عرض و مساحت برگچه بالغ را داشت. جمعیت J (لرستان ۱) برای *A. coronaria* در ویژگی هایی چون طول گل، طول گلبرگ و مساحت گلبرگ کمترین میزان را داشت.

بر اساس نتایج، جمعیت L (کرمانشاه ۲) به ترتیب در ویژگی های قطر ساقه و طول بساک بیشترین و کمترین میزان را در میان جمعیت ها داشت. جمعیت M (خوزستان ۱) در ویژگی های ارتفاع گیاه و ساقه، قطر ساقه، تعداد گل باز شده (یک گل باز شده)، تعداد غنچه گل و قطر گل کمترین میزان را در میان جمعیت ها داشت. کمترین تعداد گل باز شده و غنچه گل در جمعیت N (خوزستان ۲) دیده شد. جمعیت T (کردستان) کمترین تعداد پرچم برای *A. coronaria* را داشت. جمعیت U (کرمانشاه ۵) در ویژگی های تعداد گلبرگ، تعداد برگ و قطر مادگی برای *A. coronaria* کمترین میزان را داشت. جمعیت V (لرستان ۲) در طول میله پرچم و تعداد گل باز شده کمترین میزان در میان جمعیت ها را داشت. جمعیت X (همدان) در ویژگی های عرض گلبرگ و طول مادگی برای *A. coronaria* کمترین میزان را داشت. از سوی دیگر، جمعیت Y (خراسان رضوی) از نظر قطر



مادگی، طول، عرض، مساحت و تعداد گلبرگ برای گونه *A. biflora* کمترین میزان را داشت. جمعیت Z (لرستان ۴) برای طول مادگی، تعداد برگ، تعداد گلبرگ و تعداد پرچم در گونه *A. biflora* کمترین مقادیر در میان جمعیت‌ها را داشت (جدول ۳).

جدول ۲- آماره‌های توصیفی ویژگی‌های مورد ارزیابی در جمعیت‌های آنمون.

Table 2- Descriptive statistics of evaluated traits for anemone populations.

| ویژگی Trait | نشان Symbol | کمینه Minimum | بیشینه Maximum | میانگین Mean | انحراف معیار Standard Deviation | ضریب گوناگونی (%)* CV (%)* |
|--|----------------|------------------|-------------------|-----------------|------------------------------------|-------------------------------|
| ارتفاع گیاه Plant height | PH | 41 | 528 | 185.59 | 26.35 | 14.20 |
| ارتفاع ساقه Stem height | SH | 43 | 498 | 159.21 | 23.17 | 14.55 |
| قطر ساقه Stem diameter | SD | 1 | 18 | 2.0184 | 0.37 | 18.23 |
| تعداد گل باز شده Number of opened flowers | OF | 1 | 7 | 1.2480 | 0.38 | 30.23 |
| تعداد غنچه گل Number of flower buds | BF | 0 | 4 | 0.2480 | 0.20 | 79.33 |
| طول گل Flower length | LF | 10 | 42 | 20.528 | 1.74 | 8.50 |
| قطر گل Flower diameter | FD | 20 | 91 | 37.144 | 3.18 | 8.56 |
| تعداد برگ گریبانی Number of involucral leaves | IN | 3 | 4 | 3.0082 | 0.03 | 0.97 |
| تعداد گلبرگ Number of petals | PN | 4 | 9 | 5.6800 | 0.25 | 4.38 |
| طول گلبرگ Petal length | PL | 13 | 50 | 24.600 | 1.69 | 6.87 |
| عرض گلبرگ Petal width | WL | 6 | 35 | 14.804 | 1.35 | 9.10 |
| مساحت گلبرگ Petal area | PA | 78 | 1400 | 377.6 | 58.71 | 15.55 |
| تعداد برگ Number of leaves | LN | 2 | 37 | 6.188 | 1.14 | 18.49 |
| طول برگچه Leaflet length | LL | 7 | 57 | 18.472 | 2.16 | 11.67 |
| عرض برگچه Leaflet width | LW | 5 | 66 | 22.724 | 2.74 | 12.06 |
| مساحت برگچه Leaflet area | LA | 40 | 3102 | 467.8 | 119.58 | 25.56 |
| طول دمبرگ Petiole length | PL | 16 | 252 | 67.84 | 12.60 | 18.57 |
| تعداد پرچم Number of stamens | SN | 20 | 191 | 97.85 | 9.37 | 9.58 |
| طول میله پرچم Filament length | FL | 3 | 81 | 6.771 | 1.58 | 23.37 |
| طول بساک Anther length | AL | 1 | 19 | 1.7676 | 0.37 | 20.91 |
| طول مادگی Gynoecium length | GL | 3.5 | 21 | 7.601 | 0.81 | 10.71 |
| قطر مادگی Gynoecium diameter | GD | 2.9 | 9.6 | 5.7692 | 0.45 | 7.83 |

*: (Std. Dev./Mean) × 100

*: ضریب گوناگونی هر ویژگی برابر نسبت انحراف معیار به میانگین ضرب در عدد ۱۰۰ است.



همبستگی ویژگی‌ها

دانش و شناخت گوناگونی ژنتیکی و ریخت‌شناسی و ارتباط بین این ویژگی‌ها می‌تواند کمک مناسبی برای برنامه‌های به‌نژادی باشد، زیرا درک تأثیر ویژگی موردنظر بر سایر ویژگی‌ها به به‌نژادگر در گزینش ویژگی مناسب کمک می‌کند. همبستگی مثبت و معنی‌دار بین ویژگی‌های ریخت‌شناسی در جمعیت‌های آمون بین مساحت گلبرگ با تعداد پرچم ($r=0/504$)، عرض گلبرگ با طول مادگی ($r=0/491$)، مساحت گلبرگ با عرض برگچه بالغ ($r=0/487$) و طول برگچه بالغ ($r=0/485$) و همچنین، ارتفاع ساقه با مساحت گلبرگ ($r=0/484$) مشاهده شد (جدول ۴). نتایج مشابهی روی گونه‌های *Allium sp.* گزارش شده است (Hossini et al., 2016). از سوی دیگر بین طول گل و تعداد گل باز شده ($r=-0/458$) همبستگی منفی وجود داشت. همچنین نتایج همبستگی بین ویژگی‌ها در جمعیت‌ها نشان داد که همبستگی مثبت و معنی‌داری بین عرض گلبرگ و مساحت گلبرگ ($r=0/978$) برقرار بود. اما بین تعداد گلبرگ و گل باز شده ($r=-0/563$) همبستگی منفی وجود داشت (جدول ۴). بر اساس نتایج، مساحت گلبرگ و تعداد پرچم بیشترین همبستگی مثبت را نشان دادند، به طوری که هرچه گل تعداد پرچم بیشتری داشته باشد انتظار می‌رود که اندازه گلبرگ آن بزرگتر باشد. از دلایل همبستگی بین دو ویژگی، افزون بر عوامل محیطی، قرار گرفتن ژن‌های کنترل‌کننده آن دو ویژگی روی یک کروموزوم است. بنابراین می‌توان از رابطه مثبت این دو ویژگی برای کارهای به‌نژادی بهره برد. وجود همبستگی در کارهای به‌نژادی از اهمیت بالایی برخوردار است. زیرا تعیین رابطه بین دو ویژگی، به‌نژادگر را در گزینش غیرمستقیم از راه اندازه‌گیری ویژگی‌های ساده‌تر کمک می‌کند (Honarnejad, 2002). بر خلاف نتایج حاضر، همبستگی مثبت و معنی‌داری بین طول سنبله و تعداد گل گلیول گزارش شده است (Singh et al., 2018).

تجزیه به مؤلفه‌های اصلی

ارزیابی ۲۴ منطقه برای *A. coronaria* و دو منطقه برای *A. biflora* بر اساس ۲۳ ویژگی‌های ریخت‌شناسی نشان داد که ۸۴/۳٪ از تمام تغییرات، توسط پنج مؤلفه اول تبیین می‌شود که دارای مقادیر ویژه (ریشه مشخصه) بیشتر از یک بودند (جدول ۵). این نشان می‌دهد که ویژگی‌های اندازه‌گیری شده به خوبی توانسته‌اند درصد بالایی از گوناگونی موجود را پوشش دهند. در مؤلفه اصلی اول که ۴۵/۷٪ از تغییرات را تبیین نمود، به ترتیب مساحت گلبرگ (۰/۳۰۱)، طول گلبرگ (۰/۲۹۶)، تعداد غنچه و طول گل (۰/۲۷۸)، قطر گل و تعداد گلبرگ (۰/۲۷۳) دارای بیشترین ضرایب بردارهای ویژه بودند (جدول ۶). در مؤلفه اصلی اول، ویژگی‌هایی که از ضرایب بالایی برخوردار بودند مربوط به گل بودند، بنابراین مؤلفه اصلی اول را می‌توان مؤلفه اندازه گل نامید (جدول ۶).

ارزش مناطق برای هر مؤلفه نشان داد که در جمعیت‌هایی که در این مؤلفه برای ویژگی‌های مربوط به اندازه گل از گوناگونی بالایی برخوردار هستند، می‌توان اقدام به‌گزینش نمود که به ترتیب شامل جمعیت A (ایلام ۱)، E (ایلام ۵)، N (خوزستان ۲) و D (ایلام ۴) می‌باشند. جمعیت J (لرستان ۱) و خراسان رضوی (جمعیت Y) کمترین مقدار از این مؤلفه را دارا بودند (جدول ۷). در مؤلفه اصلی دوم که ۱۷/۶٪ از تغییرات را تبیین نمود به ترتیب ویژگی‌هایی چون طول مادگی (۰/۴۵۴) و قطر مادگی (۰/۴۳۸)، عرض برگچه بالغ (۰/۳۳۳)، طول میله پرچم (۰/۳۰۸) و تعداد پرچم (۰/۲۵۸) دارای بیشترین ضرایب بردارهای ویژه بودند (جدول ۶).



جدول ۳- مقایسه میانگین جفتی ویژگی‌های مورفولوژیک به روش کمینه تفاوت معنی‌دار فیشر.

Table 3- Pairwise mean comparison of morphological traits based on LSD Fisher method.

| جمعیت Population | ارتفاع گیاه (میلی‌متر) Plant height (mm) | ارتفاع ساقه (میلی‌متر) Stem height (mm) | قطر ساقه (میلی‌متر) Stem diameter (mm) | تعداد گل بازشده Number of opened flowers | تعداد غنچه گل Number of flower buds | طول گل (میلی‌متر) Flower length (mm) | قطر گل (میلی‌متر) Flower diameter (mm) | تعداد برگ گریبانی Number of involucral leaves | تعداد گلبرگ Number of petals | طول گلبرگ (میلی‌متر) Petal length (mm) | عرض گلبرگ (میلی‌متر) Petal width (mm) |
|------------------------|---|--|---|--|---|--|--|--|------------------------------------|---|--|
| Ilam 1 (A) | 312.4 ^a | 285.6 ^{ab} | 3.01 ^{ab} | 1 ^c | 2 ^a | 26.8 ^{ab} | 55.1 ^a | 3 ^b | 6.2 ^a | 33.1 ^a | 25.6 ^a |
| Ilam 2 (B) | 180.7 ^{d-f} | 181.4 ^{b-e} | 2.17 ^{b-e} | 1 ^c | 0.4 ^{c-e} | 22 ^{c-e} | 40.3 ^{b-d} | 3 ^b | 5.6 ^{a-d} | 28.6 ^b | 16.1 ^{cd} |
| Ilam 3 (C) | 125.2 ^{h-l} | 104.9 ^{b-e} | 2.22 ^{b-e} | 1 ^c | 0.2 ^{d-f} | 19.8 ^{d-g} | 31.4 ^{fg} | 3 ^b | 5.9 ^{a-c} | 24.1 ^{c-h} | 15 ^{de} |
| Ilam 4 (D) | 179.6 ^{d-f} | 154.7 ^{a-c} | 2.65 ^{a-c} | 1.1 ^{bc} | 0.5 ^{cd} | 24.5 ^{a-c} | 39 ^{b-f} | 3 ^b | 5.6 ^{a-d} | 28.8 ^b | 18 ^c |
| Ilam 5 (E) | 204.8 ^{cd} | 176.9 ^{b-d} | 2.48 ^{b-d} | 1 ^c | 0.7 ^{bc} | 27.6 ^a | 32.9 ^{d-g} | 3 ^b | 5.5 ^{b-d} | 28.6 ^b | 20.6 ^b |
| Ilam 6 (F) | 265.3 ^{ab} | 249.1 ^{c-e} | 1.83 ^{c-e} | 2 ^b | 0 ^f | 16.1 ^{g-i} | 38.2 ^{b-g} | 3 ^b | 5.6 ^{a-d} | 22.7 ^{f-i} | 13.2 ^{e-g} |
| Ilam 7 (G) | 188.5 ^{d-f} | 166.9 ^{b-e} | 2.39 ^{b-e} | 1.1 ^{bc} | 0 ^f | 21.3 ^{c-e} | 31.4 ^{fg} | 3 ^b | 5.6 ^{a-d} | 27.2 ^{b-d} | 16.3 ^{cd} |
| Ilam 8 (H) | 246 ^{bc} | 224.3 ^{b-e} | 2.39 ^{b-e} | 1.7 ^{bc} | 0 ^f | 21.5 ^{c-e} | 39.4 ^{b-e} | 3 ^b | 5.9 ^{a-c} | 22.5 ^{g-i} | 15.2 ^{de} |
| Kermanshah 1 (I) | 196.5 ^{c-e} | 176.4 ^{c-e} | 1.82 ^{c-e} | 1.1 ^{bc} | 0 ^f | 19.8 ^{d-g} | 31.6 ^{fg} | 3 ^b | 5.7 ^{a-c} | 22.9 ^{e-i} | 15.1 ^{de} |
| Lorestan 1 (J) | 93.5 ^{kl} | 79.3 ^{b-e} | 2.133 ^{b-e} | 1.3 ^{bc} | 0 ^{ef} | 13.5 ⁱ | 33.33 ^{c-g} | 3 ^b | 5.67 ^{a-d} | 19.67 ^{ij} | 12.67 ^{e-h} |
| Ilam 9 (K) | 281.5 ^{ab} | 259.1 ^{b-e} | 2.08 ^{b-e} | 1.3 ^{bc} | 0 ^f | 21.9 ^{c-e} | 36.9 ^{c-g} | 3 ^b | 5.8 ^{a-c} | 27.6 ^{bc} | 13.4 ^{e-g} |
| Kermanshah 2 (L) | 240.5 ^{bc} | 218.7 ^a | 3.54 ^a | 1.1 ^{bc} | 0.6 ^c | 21.5 ^{d-f} | 36.1 ^{c-g} | 3 ^b | 5.8 ^{a-c} | 21.5 ^{hi} | 14.7 ^{d-f} |
| Khozestan 1 (M) | 86.6 ^l | 67.3 ^e | 1.44 ^e | 1 ^c | 0 ^f | 19.3 ^{d-g} | 31.1 ^g | 3 ^b | 5.8 ^{a-c} | 24 ^{c-h} | 13.3 ^{e-g} |
| Khozestan 2 (N) | 173.7 ^{d-h} | 147.1 ^{c-e} | 1.97 ^{c-e} | 1 ^c | 0 ^f | 26.6 ^{ab} | 41.2 ^{bc} | 3 ^b | 6 ^{ab} | 28.7 ^b | 18.5 ^{bc} |
| Ilam 10 (O) | 127.8 ^{g-l} | 113.2 ^{de} | 1.59 ^{de} | 1.1 ^{bc} | 0 ^f | 14.6 ^{hi} | 38.8 ^{b-f} | 3 ^b | 5.8 ^{a-c} | 23.9 ^{d-i} | 14 ^{d-g} |
| Ilam 11 (P) | 177 ^{d-g} | 158.7 ^{c-e} | 1.95 ^{c-e} | 1.3 ^{bc} | 1 ^b | 18.3 ^{e-h} | 44.6 ^b | 3 ^b | 5.9 ^{a-c} | 26.3 ^{b-f} | 15.1 ^{de} |
| Ilam 12 (Q) | 152.7 ^{e-j} | 132.1 ^{c-e} | 1.75 ^{c-e} | 1 ^c | 0.2 ^{d-e} | 20.6 ^{d-f} | 41.5 ^{bc} | 3 ^b | 5.5 ^{b-d} | 26.4 ^{b-c} | 16.2 ^{cd} |
| Kermanshah 3 (R) | 126.7 ^{g-l} | 106 ^{de} | 1.57 ^{de} | 1 ^c | 0.1 ^{ef} | 20.7 ^{c-f} | 36.2 ^{c-g} | 3 ^b | 5.7 ^{a-c} | 21.6 ^{hi} | 12.2 ^{gh} |
| Kermanshah 4 (S) | 119.6 ^{i-l} | 100.5 ^{de} | 1.73 ^{c-e} | 1 ^c | 0.1 ^{ef} | 19.1 ^{e-g} | 31.8 ^{c-g} | 3 ^b | 5.6 ^{a-d} | 21.4 ^{hi} | 12.8 ^{e-h} |
| Kurdistan (T) | 158.8 ^{d-i} | 141.9 ^{c-e} | 1.73 ^{c-e} | 1 ^c | 0 ^f | 16.9 ^{f-i} | 35.2 ^{c-g} | 3 ^b | 5.7 ^{a-c} | 21.6 ^{hi} | 11.8 ^{gh} |
| Kermanshah 5 (U) | 188.6 ^{d-f} | 168.9 ^{de} | 1.69 ^{de} | 1 ^c | 0 ^f | 19.7 ^{d-g} | 31.7 ^{fg} | 3 ^b | 5.4 ^{b-d} | 24.4 ^{c-h} | 13.3 ^{e-g} |
| Lorestan 2 (V) | 184.7 ^{d-f} | 164.6 ^{de} | 1.66 ^{de} | 1 ^c | 0.1 ^{ef} | 20.1 ^{d-f} | 38.1 ^{b-g} | 3 ^b | 5.7 ^{a-c} | 22.4 ^{hi} | 12.4 ^{fh} |
| Lorestan 3 (W) | 179.1 ^{d-f} | 157 ^{de} | 1.64 ^{de} | 1 ^c | 0.1 ^{ef} | 22.1 ^{c-e} | 31.4 ^{fg} | 3 ^b | 5.7 ^{a-c} | 23 ^{e-i} | 12.1 ^{gh} |
| Hamedan (X) | 193.3 ^{f-k} | 116.3 ^{c-e} | 1.71 ^{c-e} | 1 ^c | 0.1 ^{ef} | 23 ^{b-d} | 38.7 ^{b-g} | 3 ^b | 5.6 ^{a-d} | 26.1 ^{b-g} | 11.6 ^{gh} |
| Khorasan razavi (Y) | 312.4 ^a | 134 ^{de} | 1.57 ^{de} | 3.9 ^a | 0 ^f | 13.7 ⁱ | 39.6 ^{b-d} | 3 ^b | 5 ^d | 17.1 ^j | 10.6 ^h |
| Lorestan 4 (Z) | 89 ^{i-l} | 67.5 ^{c-e} | 1.5 ^{c-e} | 1.75 ^{bc} | 0.25 ^{c-f} | 21.5 ^{c-f} | 41 ^{b-g} | 3 ^b | 5 ^d | 21.75 ^{e-j} | 13.5 ^{d-h} |

در هر ستون میانگین‌هایی که دارای حروف مشابه هستند در سطح احتمال ۵ درصد آزمون LSD اختلاف معنی‌داری ندارند.

Means in each column, followed by similar letters are not significantly different at the 5% probability level using LSD ($P \leq 0.05$) test.

جدول ۳- ادامه.

Table 3- Continued.

| جمعیت Population | مساحت گلبرگ (میلی متر مربع) Petal area (mm ²) | تعداد برگ Number of leaves | طول برگچه (میلی متر) Leaflet length (mm) | عرض برگچه (میلی متر) Leaflet width (mm) | مساحت برگچه (میلی متر مربع) Leaflet area (mm ²) | طول دم برگ (میلی متر) Petiole length (mm) | تعداد پرچم Number of Stamens | طول میله (میلی متر) Filament length (mm) | طول بساک (میلی متر) Anther length (mm) | طول مادگی (میلی متر) Gynoecium length (mm) | قطر مادگی (میلی متر) Gynoecium diameter (mm) |
|---------------------|---|-------------------------------|--|---|---|---|---------------------------------|---|--|--|--|
| Illam 1 (A) | 856 ^a | 11 ^a | 35.9 ^a | 45.4 ^a | 1685 ^a | 170.3 ^a | 140.9 ^a | 6.51 ^b | 2.01 ^b | 7.67 ^{c-e} | 5.64 ^{f-i} |
| Illam 2 (B) | 466.1 ^{cd} | 6 ^{c-z} | 18.4 ^{e-g} | 24.4 ^{cd} | 459.1 ^{d-h} | 62.8 ^{e-i} | 132.5 ^{ab} | 6.42 ^b | 1.64 ^b | 7.37 ^{c-f} | 5.59 ^{f-i} |
| Illam 3 (C) | 364.5 ^{d-i} | 7.8 ^{b-c} | 12.5 ^{hi} | 18 ^{Fh} | 241.9 ^{k-n} | 35.9 ⁱ | 110.1 ^{c-e} | 6.94 ^b | 1.64 ^b | 7.68 ^{c-e} | 6.15 ^{d-g} |
| Illam 4 (D) | 525.1 ^{bc} | 9.6 ^{ab} | 16.2 ^{Fh} | 21.3 ^{d-f} | 358.6 ^{e-k} | 46 ^{g-j} | 118.1 ^{bc} | 7.51 ^b | 1.67 ^b | 9.93 ^a | 7.57 ^a |
| Illam 5 (E) | 593.7 ^b | 8.4 ^{a-d} | 16.1 ^{Fh} | 19.5 ^{fg} | 327 ^{g-m} | 82.7 ^{c-e} | 131.6 ^{ab} | 7.9 ^b | 1.83 ^b | 10.66 ^a | 7.28 ^{ab} |
| Illam 6 (F) | 301.8 ^{g-i} | 6.1 ^{c-z} | 15.3 ^{Fh} | 15.8 ^{g-i} | 258 ⁱ⁻ⁿ | 116.3 ^b | 74.4 ^k | 5.79 ^b | 3.21 ^a | 7.92 ^{cd} | 5.92 ^{e-h} |
| Illam 7 (G) | 449.4 ^{c-e} | 5.4 ^{e-z} | 12.6 ^{hi} | 12.3 ^{ij} | 155.4 ^{m-n} | 65.3 ^{d-i} | 100.7 ^{d-g} | 5.79 ^b | 1.66 ^b | 10.87 ^a | 6.92 ^{a-d} |
| Illam 8 (H) | 345.2 ^{e-i} | 5.7 ^{d-j} | 18 ^{e-g} | 20 ^f | 371 ^{e-l} | 74.7 ^{d-f} | 129.4 ^{ab} | 7.94 ^b | 1.87 ^b | 10.47 ^a | 7.35 ^{ab} |
| Kermanshah 1 (I) | 345.4 ^{e-i} | 3.8 ⁱ | 9.8 ⁱ | 8.8 ^j | 87.9 ⁿ | 34.7 ^j | 118.8 ^{bc} | 14.18 ^a | 1.69 ^b | 10.74 ^a | 7.01 ^{ac} |
| Lorestan 1 (J) | 249.3 ^{h-j} | 7.67 ^{b-h} | 14.3 ^{gh} | 13.67 ^{hi} | 200.2 ^{l-n} | 38.17 ^{ij} | 120.2 ^{b-d} | 5.77 ^b | 1.6 ^b | 6.45 ^{c-i} | 4.97 ^{h-l} |
| Illam 9 (K) | 376.3 ^{d-i} | 7.5 ^{b-f} | 20.5 ^{de} | 21.1 ^{d-f} | 444.9 ^{d-i} | 99.6 ^{bc} | 73.1 ^{jk} | 7.21 ^b | 1.57 ^b | 8.17 ^{bc} | 6.31 ^{e-f} |
| Kermanshah 2 (L) | 320.5 ^{g-i} | 7.3 ^{b-g} | 23 ^{b-d} | 20.2 ^{ef} | 463 ^{d-g} | 66.3 ^{d-h} | 104.3 ^{c-f} | 5.14 ^b | 1.25 ^b | 6.89 ^{c-h} | 5.49 ^{f-j} |
| Khozestan 1 (M) | 319.7 ^{g-i} | 4.4 ^{h-j} | 19 ^{ef} | 26.1 ^c | 508.6 ^{d-g} | 56.5 ^{f-j} | 88 ^{Fj} | 6.71 ^b | 1.41 ^b | 6.46 ^{c-i} | 5.01 ^{i-l} |
| Khozestan 2 (N) | 543.4 ^{bc} | 5.3 ^{e-j} | 23.3 ^{b-d} | 31.6 ^b | 724.1 ^{bc} | 57.2 ^{Fj} | 88.7 ^{Fj} | 6.17 ^b | 1.8 ^b | 6.21 ^{e-i} | 4.74 ^{i-l} |
| Illam 10 (O) | 339.6 ^{e-i} | 6.1 ^{c-z} | 15.1 ^{gh} | 17.7 ^{Fh} | 272.9 ^{h-n} | 53.8 ^{Fj} | 77.5 ^{h-k} | 6.88 ^b | 1.59 ^b | 7.47 ^{c-f} | 5.88 ^{e-h} |
| Illam 11 (P) | 408.2 ^{d-g} | 8.6 ^{a-c} | 20.4 ^{de} | 27.1 ^c | 582 ^{cd} | 104.9 ^{bc} | 87.3 ^{g-j} | 6.74 ^b | 2.21 ^{ab} | 8.05 ^{cd} | 6.6 ^{b-e} |
| Illam 12 (Q) | 438.6 ^{c-f} | 6.7 ^{c-i} | 17.7 ^{e-g} | 24.8 ^{cd} | 455.9 ^{d-h} | 54 ^{Fj} | 83.4 ^{h-j} | 7.5 ^b | 1.87 ^b | 9.77 ^{ab} | 7.45 ^a |
| Kermanshah 3 (R) | 268 ^{h-j} | 5.2 ^{e-j} | 13 ^{hi} | 17.8 ^{Fh} | 243.6 ⁱ⁻ⁿ | 67.4 ^{d-h} | 72.9 ^{jk} | 6.31 ^b | 1.66 ^b | 6.01 ^{f-i} | 5.19 ^{h-k} |
| Kermanshah 4 (S) | 278.3 ^{h-j} | 4.5 ^{g-j} | 13.1 ^{hi} | 18.3 ^{fg} | 243.1 ^{j-n} | 49.6 ^{g-j} | 110.8 ^{cd} | 6.16 ^b | 1.8 ^b | 6.14 ^{e-i} | 5.42 ^{g-j} |
| Kurdistan (T) | 258.4 ^{ij} | 5 ^{e-j} | 17.5 ^{e-g} | 24 ^{c-e} | 431.6 ^{d-j} | 68.4 ^{d-g} | 66.1 ^k | 6.45 ^b | 1.66 ^b | 7.32 ^{c-g} | 6.04 ^{e-g} |
| Kermanshah 5 (U) | 325.8 ^{g-i} | 4.2 ^{ij} | 24.5 ^{bc} | 32 ^b | 794.2 ^b | 88.7 ^{cd} | 93.4 ^{e-h} | 6.02 ^b | 1.67 ^b | 5.62 ^{hi} | 4.4 ^{k-m} |
| Lorestan 2 (V) | 282.4 ^{h-j} | 4.7 ^{Fj} | 20.9 ^{c-e} | 25 ^{cd} | 539.7 ^{d-f} | 52 ^{Fj} | 91.8 ^{Fh} | 4.96 ^b | 1.65 ^b | 5.73 ^{g-i} | 4.44 ^{k-m} |
| Lorestan 3 (W) | 276 ^{h-j} | 5.1 ^{e-j} | 25.5 ^b | 31.3 ^b | 819.4 ^b | 51.8 ^{Fj} | 91.8 ^{Fh} | 5.06 ^b | 1.69 ^b | 6.68 ^{c-h} | 4.92 ^{i-l} |
| Hamedan (X) | 305.8 ^{g-i} | 4.4 ^{h-j} | 20.3 ^{de} | 26.7 ^c | 544 ^{de} | 51.1 ^{Fj} | 91.2 ^{Fi} | 5.51 ^b | 1.6 ^b | 5.44 ^{hi} | 4.51 ^{k-m} |
| Khorasan razavi (Y) | 183.2 ^j | 5.8 ^{e-j} | 17.6 ^{e-g} | 19.6 ^{fg} | 352.1 ^{fi} | 44.4 ^{h-j} | 87.6 ^{Fj} | 6.14 ^b | 2.01 ^b | 4.94 ⁱ | 3.83 ^m |
| Lorestan 4 (Z) | 295 ^{Fj} | 3.75 ^{g-j} | 17.5 ^{e-h} | 27.75 ^{bc} | 487.3 ^{d-k} | 47 ^{Fj} | 24.5 ^l | 7.2 ^b | 1.47 ^b | 4.85 ^{hi} | 3.97 ^{lm} |

در هر ستون میانگین‌هایی که دارای حروف مشابه هستند در سطح احتمال ۵ درصد آزمون LSD اختلاف معنی‌داری ندارند.

Means in each column, followed by similar letters are not significantly different at the 5% probability level using LSD ($P \leq 0.05$) test.

در مؤلفه اصلی دوم، ویژگی‌هایی که از ضرایب بالایی برخوردار بودند مربوط به قسمت‌های زایشی گیاه بودند. بنابراین این مؤلفه را می‌توان مؤلفه زایشی گیاه نامید. همان‌طور که پیش‌تر اشاره شد در این مؤلفه بیشترین مقدار مربوط به طول مادگی به میزان ۰/۴۵۴ بود و مناطق برتر بر اساس طول مادگی انتخاب شدند (جدول ۶). ارزش مناطق نشان داد که از بین جمعیت‌های G (ایلام ۷)، I (کرمانشاه ۱)، E (ایلام ۵) و H (ایلام ۸) که در این مؤلفه برای ویژگی‌های مربوط به بخش زایشی گیاه از گوناگونی بالایی برخوردارند، می‌توان اقدام به‌گزینش نمود. جمعیت X (همدان) کمترین مقدار از این مؤلفه را *A. coronaria* دارا بود و دو جمعیت خراسان رضوی و لرستان ۴ که گونه *A. biflora* از آن مناطق جمع‌آوری گردید، بین تمامی جمعیت‌ها گوناگونی کمتری را برای این مؤلفه نشان دادند (جدول ۷).

در مؤلفه اصلی سوم که سهم آن از تغییرات ۱۰/۳٪ بود، ویژگی‌های تعداد گل باز شده (۰/۵۰۰-)، طول بساک (۰/۴۹۷)، ارتفاع گیاه (۰/۴۴۵-) و ارتفاع ساقه (۰/۳۲۳-) دارای بالاترین ضرایب منفی بودند (جدول ۶). در مؤلفه اصلی سوم، ویژگی‌هایی که از ضریب بالا و منفی برخوردار بودند مربوط به ارتفاع گیاه بودند. این مؤلفه بیشترین بار عامل منفی را برای اندازه گیاه داشت. ویژگی‌های تعداد برگ گریبانی (۰/۴۹۲) و طول بساک (۰/۳۴۹) به ترتیب دارای بیشترین ضرایب بردارهای ویژه بودند که در مؤلفه اصلی چهارم، ۵/۶٪ از تغییرات را توجیه نمودند. ویژگی‌های قطر ساقه (۰/۴۵۰-) و تعداد پرچم (۰/۴۲۱) به ترتیب بیشترین عامل منفی را در این مؤلفه دارا بودند (جدول ۶). بنابراین مؤلفه اصلی چهارم بر اندازه بساک تأکید دارد. در این مؤلفه بیشترین تعداد برگ گریبانی با ضریب مثبت ۰/۴۹۲ بود، اما چون این ویژگی در انتخاب ویژگی‌های برتر خیلی موردتوجه قرار نمی‌گیرد، طول بساک (۰/۳۴۹) به‌عنوان ویژگی برتر در این مؤلفه انتخاب شد (جدول ۶).

ارزش مناطق برای هر مؤلفه نشان داد که جمعیت F (ایلام ۶) در این مؤلفه برای ویژگی مربوط به طول بساک از گوناگونی بالایی برخوردار بوده و می‌توان از آن جمعیت اقدام به‌گزینش نمود. همچنین جمعیت L (کرمانشاه ۲) کمترین مقدار از این مؤلفه را دارا بود (جدول ۷). در مؤلفه اصلی پنجم که ۵/۱٪ از تغییرات را توجیه نمود، طول میله پرچم (۰/۵۸۸) دارای بیشترین ضریب بردارهای ویژه بود و ویژگی‌های تعداد برگ (۰/۵۱۸-) و تعداد برگ گریبانی (۰/۴۶۲-) به ترتیب دارای بیشترین عامل منفی بودند (جدول ۶). بنابراین مؤلفه پنجم را می‌توان مؤلفه پرچم و یا بدون اندام نورساختی نامید. ارزش مناطق برای هر مؤلفه نشان داد که جمعیت گوناگونی برای این مؤلفه شامل جمعیت I (کرمانشاه ۱) است که از آن می‌توان اقدام به‌گزینش نمود. جمعیت V (لرستان ۲) کمترین مقدار از این مؤلفه را دارا بود (جدول ۷). نتایج مشابهی از تجزیه به مؤلفه‌های اصلی در گونه‌های *Allium* زینتی به دست آمد و پنج مؤلفه اول ۸۲٪ از تغییرات مورفولوژیک را توجیه نمودند (Fathimanesh et al., 2018). برخلاف پژوهش حاضر، در بررسی گوناگونی پدیدگانی سیکلامن (Curuk et al., 2015)، ۲۷ ویژگی ریخت‌شناسی در مجموع ۶۵٪ از گوناگونی موجود را توجیه نمودند که کمتر از نتایج یافته‌های ما بود.

جدول ۴- ضرایب همبستگی بین میانگین ویژگی‌های ریخت‌شناسی در جمعیت‌های آنمون.

Table 4- Correlation coefficients between mean of morphological traits in anemone populations.

| GL | AL | FL | SN | PtL | LA | LW | LL | LN | PA | PW | PL | PN | IN | FD | FL | BN | OF | SD | SH | PH | | |
|----|----|----|----|-----|----|----|----|----|----|----|----|----|----|----|----|----|----|----|----|---------|----------------------|-----|
| | | | | | | | | | | | | | | | | | | | | 0.869** | SH | |
| | | | | | | | | | | | | | | | | | | | | | 0.448* | SD |
| | | | | | | | | | | | | | | | | | | | | | 0.458* | OF |
| | | | | | | | | | | | | | | | | | | | | | 0.353 ^{ns} | BN |
| | | | | | | | | | | | | | | | | | | | | | 0.158 ^{ns} | FL |
| | | | | | | | | | | | | | | | | | | | | | 0.412* | FD |
| | | | | | | | | | | | | | | | | | | | | | -0.015 ^{ns} | IN |
| | | | | | | | | | | | | | | | | | | | | | 0.102 ^{ns} | PN |
| | | | | | | | | | | | | | | | | | | | | | 0.201 ^{ns} | PL |
| | | | | | | | | | | | | | | | | | | | | | 0.318 ^{ns} | PW |
| | | | | | | | | | | | | | | | | | | | | | 0.323 ^{ns} | PA |
| | | | | | | | | | | | | | | | | | | | | | 0.389* | LN |
| | | | | | | | | | | | | | | | | | | | | | 0.429* | LL |
| | | | | | | | | | | | | | | | | | | | | | 0.163 ^{ns} | LW |
| | | | | | | | | | | | | | | | | | | | | | 0.346 ^{ns} | LA |
| | | | | | | | | | | | | | | | | | | | | | 0.597** | PtL |
| | | | | | | | | | | | | | | | | | | | | | 0.286 ^{ns} | SN |
| | | | | | | | | | | | | | | | | | | | | | 0.037 ^{ns} | FL |
| | | | | | | | | | | | | | | | | | | | | | 0.428* | AL |
| | | | | | | | | | | | | | | | | | | | | | 0.236 ^{ns} | GL |
| | | | | | | | | | | | | | | | | | | | | | 0.151 ^{ns} | GD |

*, ** and ^{ns}: Significant at 5%, Significant at 1% and non-significant probability level, respectively

*, ** و ^{ns}: به ترتیب معنی‌دار در سطح احتمال ۵٪، معنی‌دار در سطح احتمال ۱٪ و غیر معنی‌دار.

PH= ارتفاع گیاه، SH= ارتفاع ساقه، SD= قطر ساقه، OF= تعداد گل باز شده، BN= تعداد غنچه، FL= طول گل، FD= قطر گل، IN= تعداد برگ گریبان، PN= تعداد گلبرگ، PL= طول گلبرگ، PA= مساحت گلبرگ، LN= تعداد برگ، LL= طول برگچه، LW= عرض برگچه

عرض برگچه، LA= مساحت برگچه، PtL= طول دمیرگ، SN= تعداد پرچم، FL= طول میله پرچم، AL= طول بساک، GL= طول مادگی، GD= قطر مادگی.

PH= Plant height, SH= Stem height, SD= Stem diameter, OF= Opened flower number, BN= Bud number, FL= Flower length, FD= Flower diameter, IN= Involucral leaf number, PN= Petal number, PL= Petal length, PW= Petal width, PA= Petal area, LN= Leaf number, LL= Leaflet length, LW= Leaflet width, LA= Leaflet area, PtL= Petiole length, SN= Stamen number, FL= Filament length, AL= Anther length, GL= Gynoecium length, GD= Gynoecium diameter.



جدول ۵- مقادیر ویژه، درصد واریانس و درصد تجمعی واریانس‌ها در ویژگی‌های ریخت‌شناسی آنمون.

Table 5- Eigen value, percentage of variance and cumulative percent variances in morphological traits of anemone.

| | PC1 | PC2 | PC3 | PC4 | PC5 | PC6 | PC7 |
|--------------------------------|-------|------|------|------|------|------|------|
| مقادیر ویژه | 10.05 | 3.87 | 2.26 | 1.23 | 1.12 | 0.86 | 0.71 |
| Eigen value | | | | | | | |
| درصد واریانس | 45.7 | 17.6 | 10.3 | 5.6 | 5.1 | 3.9 | 3.3 |
| Variance percentage | | | | | | | |
| درصد تجمعی واریانس | 45.7 | 63.3 | 73.6 | 79.2 | 84.3 | 88.3 | 91.5 |
| Cumulative variance percentage | | | | | | | |

جدول ۶- مقادیر ضرایب بردارهای ویژه ویژگی‌های ریخت‌شناسی آنمون.

Table 6- Specific vector coefficients for morphological traits of anemone.

| ویژگی Trait | مؤلفه‌های اصلی Main components | | | | |
|--|-----------------------------------|--------|---------------|---------------|---------------|
| | PC1 | PC2 | PC3 | PC4 | PC5 |
| ارتفاع گیاه Plant height | 0.197 | 0.009 | -0.445 | -0.140 | 0.120 |
| ارتفاع ساقه Stem height | 0.231 | 0.068 | -0.323 | -0.106 | 0.170 |
| قطر ساقه Stem diameter | 0.231 | 0.139 | 0.003 | -0.450 | -0.145 |
| تعداد گل باز شده Number of opened flowers | -0.071 | -0.081 | -0.500 | -0.057 | -0.048 |
| تعداد غنچه گل Number of flower buds | 0.278 | -0.023 | 0.041 | -0.023 | -0.164 |
| طول گل Flower length | 0.278 | -0.030 | 0.179 | 0.081 | 0.100 |
| قطر گل Flower diameter | 0.273 | -0.138 | -0.060 | 0.068 | 0.067 |
| تعداد برگ گریبانی Number of involucral leaves | 0.041 | 0.224 | 0.095 | 0.492 | -0.462 |
| تعداد گلبرگ Number of petals | 0.273 | -0.047 | 0.076 | -0.108 | 0.181 |
| طول گلبرگ Petal length | 0.296* | -0.007 | 0.120 | 0.110 | 0.070 |
| عرض گلبرگ Petal width | 0.271 | 0.158 | 0.135 | 0.091 | -0.041 |
| مساحت گلبرگ Petal area | 0.301 | 0.033 | 0.100 | 0.085 | 0.032 |



| | | | | | |
|--------------------|-------|--------------|---------------|---------------|---------------|
| تعداد برگ | 0.183 | 0.183 | -0.073 | -0.201 | -0.518 |
| Number of leaves | | | | | |
| طول برگچه | 0.241 | -0.288 | 0.008 | -0.031 | -0.026 |
| Leaflet length | | | | | |
| عرض برگچه | 0.199 | 0.333 | 0.130 | 0.181 | -0.064 |
| Leaflet width | | | | | |
| مساحت برگچه | 0.254 | -0.275 | 0.062 | 0.069 | 0.047 |
| Leaflet area | | | | | |
| طول دمبرگ | 0.236 | -0.070 | -0.270 | 0.178 | -0.018 |
| Petiole length | | | | | |
| تعداد پرچم | 0.125 | 0.258 | 0.077 | -0.421 | -0.019 |
| Number of stamens | | | | | |
| طول میله پرچم | 0.036 | 0.308 | 0.044 | 0.189 | 0.588 |
| Filament length | | | | | |
| طول بساک | 0.042 | 0.047 | -0.497 | 0.349 | -0.085 |
| Anther length | | | | | |
| طول مادگی | 0.099 | 0.454 | -0.024 | 0.105 | 0.095 |
| Gynoecium length | | | | | |
| قطر مادگی | 0.112 | 0.438 | -0.001 | 0.118 | -0.018 |
| Gynoecium diameter | | | | | |

*The maximum eigen vectors are highlighted in bold.

* بردارهای ویژه با بیشترین ارزش پیرنگ شده‌اند.

جدول ۷- مقادیر برخی ویژگی‌های ریخت‌شناسی بر اساس تجزیه به مؤلفه‌های اصلی آزمون برای هر جمعیت.

Table 7- Values of some morphological traits based on principal component analysis of anemone for each population.

| جمعیت Population | ویژگی Trait | | | | |
|---------------------|---------------------------|-------------------------------|-----------------------------|---------------------------|-----------------------------|
| | مساحت گلبرگ Petal area | طول مادگی Gynoecium length | ارتفاع گیاه Plant height | طول بساک Anther length | طول میله Filament length |
| Ilam 1 (A) | 856 | 7.67 | 312.4 | 2.01 | 6.51 |
| Ilam 2 (B) | 466.1 | 7.37 | 180.7 | 1.64 | 6.42 |
| Ilam 3 (C) | 364.5 | 7.68 | 125.2 | 1.62 | 6.94 |
| Ilam 4 (D) | 525.1 | 9.93 | 179.6 | 1.67 | 7.51 |
| Ilam 5 (E) | 593.7 | 10.66 | 204.8 | 1.83 | 7.9 |
| Ilam 6 (F) | 301.8 | 7.92 | 265.3 | 3.21 | 5.79 |
| Ilam 7 (G) | 449.4 | 10.87 | 188.5 | 1.66 | 6.79 |
| Ilam 8 (H) | 345.2 | 10.47 | 246 | 1.87 | 7.94 |
| Kermanshah 1 (I) | 345.4 | 10.74 | 196.5 | 1.69 | 14.18 |
| Lorestan 1 (J) | 249.3 | 6.45 | 93.5 | 1.6 | 5.76 |
| Ilam 9 (K) | 376.3 | 8.17 | 281.5 | 1.57 | 7.21 |
| Kermanshah 2 (L) | 320.5 | 6.89 | 240.5 | 1.25 | 5.14 |
| Khozestan 1 (M) | 319.7 | 6.46 | 86.6 | 1.41 | 6.71 |
| Khozestan 2 (N) | 543.4 | 6.21 | 173.7 | 1.8 | 6.17 |



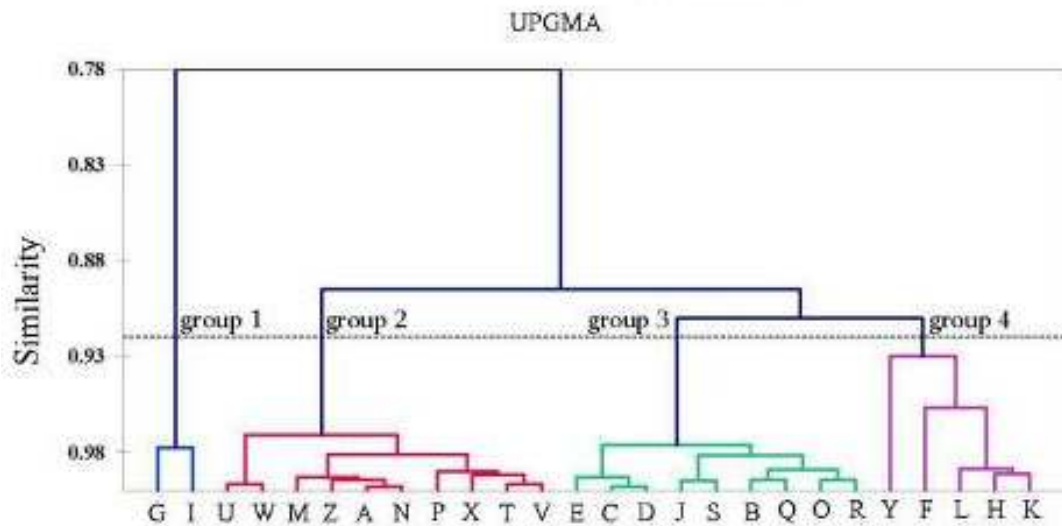
| | | | | | |
|---------------------|-------|------|-------|------|------|
| Ilam 10 (O) | 339.6 | 7.47 | 127.8 | 1.59 | 6.88 |
| Ilam 11 (P) | 408.2 | 8.05 | 177 | 2.21 | 6.74 |
| Ilam 12 (Q) | 438.6 | 9.77 | 152.7 | 1.87 | 7.5 |
| Kermanshah 3 (R) | 268 | 6.01 | 126.7 | 1.66 | 6.31 |
| Kermanshah 4 (S) | 278.3 | 6.14 | 119.6 | 1.8 | 6.16 |
| Kurdistan (T) | 258.4 | 7.32 | 158.8 | 1.66 | 6.45 |
| Kermanshah 5 (U) | 325.8 | 5.62 | 188.6 | 1.67 | 6.02 |
| Lorestan 2 (V) | 282.4 | 5.73 | 184.7 | 1.65 | 4.96 |
| Lorestan 3 (W) | 276 | 6.68 | 179.1 | 1.69 | 5.06 |
| Hamedan (X) | 305.8 | 5.44 | 139.3 | 1.6 | 5.51 |
| Khorasan razavi (Y) | 183.2 | 4.94 | 312.4 | 2.01 | 6.14 |
| Lorestan 4 (Z) | 295 | 4.85 | 89 | 1.47 | 7.2 |

تجزیه خوشه‌ای

تجزیه خوشه‌ای ۲۶ جمعیت شامل ۲۵۰ نمونه آزمون بر اساس ویژگی‌های مورفولوژیک به روش UPGMA و ترسیم خط برش به روش Automatic Entropy، جمعیت‌ها را به چهار گروه تقسیم نمود (شکل ۲). بر اساس نتایج تجزیه خوشه‌ای، جمعیت‌های G (ایلام ۷) و I (کرمانشاه ۱) در گروه اول قرار گرفتند که جمعیت I (کرمانشاه ۱) دارای کمترین تعداد برگ و دمبرگ، طول، عرض و مساحت برگچه بالغ و بیشترین طول مادگی است و تفاوتی با جمعیت G (ایلام ۷) ندارد. این گروه با ویژگی‌های برگ کوچک (تعداد برگ کم و کوچک با دمبرگ کوتاه) و مادگی بزرگ شناسایی شد. جمعیت U (کرمانشاه ۵)، W (لرستان ۳)، M (خوزستان ۱)، Z (لرستان ۴)، A (ایلام ۱)، N (خوزستان ۲)، P (ایلام ۱۱)، X (همدان)، T (کردستان) و V (لرستان ۲) در گروه دوم قرار گرفتند که بیشترین تعداد برگ، بلندترین دمبرگ، طول، عرض و مساحت برگچه بالغ، تعداد، طول، عرض و مساحت گلبرگ، تعداد پرچم، تعداد غنچه و قطر گل و کمترین طول میله پرچم و بساک، ارتفاع گیاه و ساقه و همچنین، قطر ساقه و گل در این گروه قرار داشت. در مجموع، این گروه با گلبرگ‌ها و برگ‌های بزرگ (تعداد برگ زیاد و بزرگ با دمبرگ بلند و برگچه بالغ بزرگ) شناسایی شد. جمعیت‌های E (ایلام ۵)، C (ایلام ۳)، D (ایلام ۴)، J (لرستان ۱)، S (کرمانشاه ۴)، B (ایلام ۲)، Q (ایلام ۱۲)، O (ایلام ۱۰) و R (کرمانشاه ۳) در گروه سوم قرار گرفتند که این گروه دارای ویژگی‌هایی چون بیشترین طول و قطر مادگی و کوتاه‌ترین دمبرگ بودند. گیاهان با بیشترین و کمترین طول گل نیز در این گروه قرار گرفتند. جمعیت‌های Y (خراسان رضوی)، F (ایلام ۶)، L (کرمانشاه ۲)، H (ایلام ۸) و K (ایلام ۹) در گروه چهارم قرار گرفتند که این گروه دارای ویژگی‌هایی چون اندازه بزرگ گیاه (قطر، ارتفاع گیاه و ساقه زیاد) و مادگی و گلبرگ کوچک (تعداد، طول، عرض و مساحت گلبرگ) بودند. نتایج تجزیه خوشه‌ای نشان داد که بعضی از جمعیت‌های مناطق مختلف در یک گروه قرار گرفتند و بیانگر نبود پیروی گوناگونی جغرافیایی جمعیت‌ها از گوناگونی ریخت‌شناسی است که با نتایج پژوهش انجام‌شده روی سیکلامن (Curuk *et al.*, 2015) همسو است. ایشان علت این موضوع را ناکافی بودن ویژگی‌های ریخت‌شناسی و تجزیه خوشه‌ای برای تشخیص ذخایر توارثی سیکلامن دانستند که اهمیت استفاده از روش‌های مولکولی برای درک بهتر روابط پیچیده ذخایر توارثی را نشان می‌دهد. پراکندگی جغرافیایی نمونه‌های موجود در گروه‌بندی تجزیه خوشه‌ای نشان می‌دهد که برخی جمعیت‌ها به احتمال زیاد دارای جد مشترک هستند که در طول زمان و انتقال به مناطق مختلف سازگار شده‌اند. از سوی دیگر، توزیع جمعیت‌های مربوط



به استان ایلام در همه گروه‌ها نشان‌دهنده گوناگونی بالای نژادگان‌های بومی این منطقه است. با توجه به فاصله زیاد یا تشابه کم بین گروه اول و چهارم، می‌توان از جمعیت‌های این دو گروه برای کارهای بهنژادی استفاده کرد. جمعیت‌های G (ایلام ۷) و I (کرمانشاه ۱) در یک گروه قرار گرفتند و در گام بعدی برای کارهای بهنژادی و ایجاد دورگه‌های جدید با گروه‌هایی که در فاصله دورتری قرار دارند (گروه چهارم)، می‌توانند مورد توجه قرار گیرند. با توجه به بومی بودن این گیاه و توانایی سازگاری با شرایط اقلیمی کشور و همچنین تحمل تنش‌های محیطی، می‌تواند به‌عنوان گزینه مناسبی برای بهنژادی و ورود به منظر شهری باشد. با کمک برنامه‌های بهنژادی می‌توان از گوناگونی موجود بهره برده و به‌عنوان یک منبع احتمالی از آل‌های مفید برای تحمل به تنش‌ها استفاده نمود. از سوی دیگر، شناسایی رویشگاه‌ها و جمعیت‌های ارزشمند از مهم‌ترین مراحل اهلی کردن و نگهداری از آنمون به‌عنوان یک گیاه زینتی محسوب می‌شود که به‌صورت وحشی در مناطق مختلف کشور پراکنش دارند.



شکل ۲- تجزیه خوشه‌ای ۲۶ جمعیت آنمون بر اساس ویژگی‌های ریخت‌شناسی.

جمعیت‌ها: ایلام ۱ (A)، ایلام ۲ (B)، ایلام ۳ (C)، ایلام ۴ (D)، ایلام ۵ (E)، ایلام ۶ (F)، ایلام ۷ (G)، ایلام ۸ (H)، کرمانشاه ۱ (I)، لرستان ۱ (J)، ایلام ۹ (K)، کرمانشاه ۲ (L)، خوزستان ۱ (M)، خوزستان ۲ (N)، ایلام ۱۰ (O)، ایلام ۱۱ (P)، ایلام ۱۲ (Q)، کرمانشاه ۳ (R)، کرمانشاه ۴ (S)، کردستان (T)، کرمانشاه ۵ (U)، لرستان ۲ (V)، لرستان ۳ (W)، همدان (X)، خراسان رضوی (Y)، لرستان ۴ (Z).

Figure 2- Cluster analysis of 26 populations of anemone based on morphological traits.

Populations: Ilam 1 (A), Ilam 2 (B), Ilam 3 (C), Ilam 4 (D), Ilam 5 (E), Ilam 6 (F), Ilam 7 (G), Ilam 8 (H), Kermanshah 1 (I), Lorestan 1 (J), Ilam 9 (K), Kermanshah 2 (L), Khozestan 1 (M), Khozestan 2 (N), Ilam 10 (O), Ilam 11 (P), Ilam 12 (Q), Kermanshah 3 (R), Kermanshah 4 (S), Kurdistan (T), Kermanshah 5 (U), Lorestan 2 (V), Lorestan 3 (W), Hamedan (X), Khorasan razavi (Y), Lorestan 4 (Z).

نتیجه‌گیری

نتایج بررسی حاضر بیانگر وجود گوناگونی ریخت‌شناسی در جمعیت‌های مختلف آنمون بود. نتایج تجزیه به مؤلفه‌های اصلی نشان داد که ۳/۸۴٪ از تمام تغییرها توسط پنج مؤلفه اول تبیین شد. تجزیه خوشه‌ای جمعیت‌ها را به چهار گروه تقسیم‌بندی نمود. در مجموع نتایج نشان داد که جمعیت A (ایلام ۱) را به دلیل برتری در اندازه گل و جمعیت‌های G (ایلام ۷)، I (کرمانشاه ۱) و F (ایلام ۶) را به دلیل برتری در ویژگی‌های زایشی گیاه و بر اساس فاصله جمعیت‌ها از یکدیگر در تجزیه خوشه‌ای، می‌توان به‌عنوان جمعیت‌های برتر در کارهای بهنژادی گزینش نمود. می‌توان از جمعیت‌های گروه اول و



گروه چهارم و نمونه‌هایی که درون این جمعیت‌ها قرار دارند، به‌عنوان نامزد ورود به برنامه‌های بهنجاری در نظر گرفت تا برتری آن‌ها از جنبه‌های مختلف مورد ارزیابی قرار گیرد. لازم به ذکر است که گوناگونی ریخت شناسی تاثیرپذیری بالایی از شرایط محیطی دارد، بنابراین برای تکمیل بررسی‌ها و درک بهتر گوناگونی بین نمونه‌های حاضر، استفاده از نشانگرهای مولکولی و مکان‌یابی جایگاه‌های ژنتیکی کنترل‌کننده ویژگی‌های یادشده می‌تواند گام بعدی برای ادامه پژوهش باشد که ارزش بالایی در کارهای بهنجاری دارد.

منابع

- Akrami, S., Nejdassattari, T., Mozaffarian, V., Maassoumi, A.A. (2011). A new species of *Hedysarum* (Fabaceae) and a new record of *Anemone* (Ranunculaceae) from NW Iran. *Iranian Journal of Botany*, 17, 20-23.
- Attari, S.Z., Shoor, M., Ghorbanzadeh Neghab, M., Tehranifar, A., Malekzadeh-Shafaroudi, S. (2016). Evaluation of genetic diversity of Iris genotypes (*Iris* spp.) using ISSR. *Journal of Horticultural Science*, 30(3), 376-382.
- Badfar-Chaleshtori, S., Shiran, B., Kohgard, M., Mommeni, H., Hafizi, A., Khodambashi, M., Mirakhorli, N., Sorkheh, K. (2012). Assessment of genetic diversity and structure of Imperial Crown (*Fritillaria imperialis* L.) populations in the Zagros region of Iran using AFLP, ISSR and RAPD markers and implications for its conservation. *Biochemical Systematics and Ecology*, 42, 35-48.
- Curuk, P., Sogut, Z., Bozdogan, E., Izgu, T., Sevindik, B., Tagipur, E. M., Teixeira da Silva, J.A., Serce, S., Kacar, Y.A., Mendi, Y. Y. (2015). Morphological characterization of *Cyclamen* sp. grown naturally in Turkey: part I. *South African Journal of Botany*, 100, 7-15.
- Fathimanesh Nejad, Z., Fard, A.R., Veiskarami, S.M. (2018). Evaluation of ornamental potential of some Iranian allium species under climatic conditions of Khorramabad. *Journal of Crops Improvement*, 19(3), 687-700.
- Ghahreman, A. (1982-2008). Color Flora of Iran. Research Institute of Forest and Rangeland. Tehran.
- Hao, D.C., Gu, X., Xiao, P. (2017). Anemone medicinal plants: ethnopharmacology, phytochemistry and biology. *Acta Pharmaceutica Sinica*, 7(2), 146-158.
- Hassanpour Asil, M., Roein, Z., Sabouri, A. (2014). Identification of superior chrysanthemum genotypes based on phenological traits and postproduction longevity. *Journal of Science and Technology of Greenhouse Culture*, 5(2), 27-37.
- Hatmaker, E.A., Staton, M. E., Dattilo, A.J., Hadziabdic, Đ., Rinehart, T.A., Schilling, E.E., Trigiano, R.N., Wadl, P.A. (2018). Population structure and genetic diversity within the endangered species *Pityopsis ruthii* (Asteraceae). *Frontiers in Plant Science*, 9, 943.
- Hertogh, A.D., Nard, M.L. (1993). The Physiology of Flower Bulbs. A comprehensive treatise on the physiology and utilization of ornamental flowering bulbous and tuberous plants. Elsevier Science Publishers BV, Molenwerf, 1, 3-5.
- Honarnezhad, R. (2002). Study of correlation between some quantitative traits and grain yield in rice (*Oryza sativa*) using path analysis. *Iranian Journal of Crop Sciences*, 4(1), 25-34. (In Persian).



- Hossini, A., Samiei, L., Tehranifar, A., Shoor, M., Memariani, F. (2016). Collection and morphological characterization of some native *Allium* species of Khorassan. *Journal of Horticultural Science*, 30(4), 701-713.
- Khaleghi, A., Khadivi, A. (2020). Morphological characterization of Damask rose (*Rosa × damascena* Herrm.) germplasm to select superior accessions. *Genetic Resources and Crop Evolution*, 67, 1981-1997.
- Khaleghi, A., Khadivi, A., Zonneveld, B.J. (2018). Morphological variations among and within species of wild tulip (*Tulipa* L.) from Iran. *Genetic Resources and Crop Evolution*, 65(8), 2241-2266.
- Kiani, M., Memariani, F., Zarghami, H. (2012). Molecular analysis of species of *Tulipa* L. from Iran based on ISSR markers. *Plant Systematics and Evolution*, 298(8), 1515-1522.
- Laura, M., Allavena, A. (2007). *Anemone coronaria* breeding: current status and perspectives. *European Journal of Horticultural Science*, 72(6), 241-247.
- Momeni, H., Shiran B., Khadam-Bashi, M., Choghamirzai, K. (2013). An assessment of the genetic diversity of imperial crown (*Fritillaria imperialis* L.) populations from Zagross region of Iran through ISSR markers and morphological traits. *Iranian Journal of Horticultural Science*, 44(1), 61-72 (In Persian).
- Neel, M.C., Ellstrand, N.C. (2003). Conservation of genetic diversity in the endangered plant *Eriogonum ovalifolium* var. *vineum* (Polygonaceae). *Conservation Genetics*, 4(3), 337-352.
- Nissim, Y., Jinggui, F., Arik, S.H., Neta, P., Uri, L., Avner, C. (2004). Phenotypic and genotypic analysis of a commercial cultivar and wild populations of *Anemone coronaria*. *Euphytica*, 136, 51-62.
- Payne, A.C., Clarkson, G.J., Rothwell, S., Taylor, G. (2015). Diversity in global gene expression and morphology across a watercress (*Nasturtium officinale* R. Br.) germplasm collection: first steps to breeding. *Horticulture Research*, 2(1), 1-8.
- Perevolotsky, A., Schwartz-Tzachor, R., Yonathan, R., Ne'eman, G. (2011). Geophytes-herbivore interactions: reproduction and population dynamics of *Anemone coronaria* L. *Plant Ecology*, 212(4), 563-571.
- Pourkhaloee, A., Khosh-Khui, M., Arens, P., Salehi, H., Razi, H., Niazi, A., van Tuyl, J. (2018). Molecular analysis of genetic diversity, population structure, and phylogeny of wild and cultivated tulips (*Tulipa* L.) by genic microsatellites. *Horticulture, Environment, and Biotechnology*, 59(6), 875-888.
- Rechinger, K.H., Riedl, H. (1992). *Anemone* in K.H. *Rechinger Flora Iranica*, 171, 213-227.
- Singh, N., Pal, A.K., Roy, R.K., Tewari, S.K., Tamta, S., Rana, T.S. (2018). Characterization of gladiolus germplasm using morphological, physiological, and molecular markers. *Biochemical Genetics*, 56(1-2), 128-148.
- Slapcinsky, J.L., Gordon, D.R., Menges, E.S. (2010). Responses of rare plant species to fire in Florida's pyrogenic communities. *Natural Areas Journal*, 30(1), 4-19.
- Szczecińska, M., Sramko, G., Wołosz, K., Sawicki, J. (2016). Genetic diversity and population structure of the rare and endangered plant species *Pulsatilla patens* (L.) Mill in East Central Europe. *PLoS One*, 11(3), e0151730.
- Van Huylenbroeck, J. (2018). *Ornamental Crops*. Vol 11. Springer, Berlin. 855p.



Yamagishi, M., Nishioka, M., Kondo, T. (2010). Phenetic diversity in the *Fritillaria camschatcensis* population grown on the Sapporo campus of Hokkaido University. *Landscape and Ecological Engineering*, 6(1), 75-79.





Evaluation of morphological diversity of some populations of anemone (*Anemone* spp. L.) in Iran

Vahid Hajyan¹, Zeynab Roein^{1*}, Ali Arminian²

1. Department of Horticultural Science, Faculty of Agriculture, Ilam University, Ilam

2. Department of Plant Genetics and Breeding, Faculty of Agriculture, Ilam University, Ilam

✉ z.roein@ilam.ac.ir

Abstract

Anemone (*Anemone* spp. L.) as an ornamental geophyte originates and grows naturally in Iran that has great ornamental potential. Despite the wide distribution of a large number of accessions of anemone in Iran, the characterization and assessment of the existing diversity of Iranian anemone germplasm at the morphological level as the initial step in describing germplasm have received little attention. In this study, to evaluate the morphological diversity, 26 anemone populations (250 accessions; *Anemone coronaria* L. and *Anemone biflora* DC.) were collected from different regions of Iran, including Ilam, Kermanshah, Lorestan, Khuzestan, Hamedan, Kurdistan and Khorasan Razavi provinces. Traits such as stem height, flower number, flower bud number, flower diameter, petiole length, involucre leaf number, number of petals, number of leaves, number of stamens, and length and width of petals were used to study morphological diversity. The natural accessions were collected during their flowering time. The results indicated that there was a wide range of variation in different populations of the anemone. The highest values of variation (79.33%) were attributed to the number of flower buds varied from 0 to 4. The lowest variation (0.97%) was belonged to the number of involucre leaves, which was recorded as 3 involucre leaves for most populations. A low level of phenotypic variation (4.38%) was detected among the populations for petals number, as a commercial character ranged from 4 to 9. Based on the results, the tallest plants with large flowers and many buds were recorded in population A (Ilam 1). Based on results, number of petals was positively correlated with petal length, petal width, leaf number, and stamen number while it was negatively correlated with number of open flowers. In the first main component, which accounted for 45.7% of the total variation, it was correlated with perianth traits. In the second main component, which explained 17.6% the total variation, the reproductive traits had the highest value. The dendrogram created using cluster analysis grouped the populations into four major clusters with different characteristics. Cluster analysis could not differentiate populations by species or geographical area. The current finding showed that natural population A (Ilam 1), G (Ilam 7), I (Kermanshah 1) and F (Ilam 6) had a unique flower size, stem length, flower number and leaf number that can be selected as the superior populations. In conclusion, the populations collected as a rich genetic source will be useful for ex-situ conservation and utilization in breeding programs of anemone.

Keywords: Anemone, Cluster analysis, Germplasm conservation, Ornamental geophyte.